析座を模擬したコンクリートに埋め込まれた鋼角ストッパーの交番載荷実験

鉄道総合技術研究所 正会員 〇岡本 大

フェロー会員 佐藤 勉

正会員 田所 敏弥

正会員 松枝 修平

1. はじめに

鋼角ストッパーは、地震時の水平力に対して桁の移動を制限する装置であり、角型鋼管の内部にコンクリートを充填し、図1に示すように橋脚天端の桁座に埋込み設置するものである。本稿では、桁座に埋込まれた鋼角ストッパーを模擬した試験体の交番載荷試験を実施し、鋼角ストッパーの耐力、変形性能、桁座コンクリートの支圧耐力等に関して得られた知見を報告する。

2. 実験概要

実験を行った試験体の諸元を図 2 に、使用した材料の諸元を表 1、表 2 に示す。鋼角ストッパーには、断面が 250×250mm、厚 さ t=9mm のものを用いた。桁座を模擬したフーチングは、せん 断破壊を生じないように、鋼角ストッパー周りを鉄筋により十分に補強した。

載荷は、試験体のフーチングを反力床に固定し、反力フレームに取付けた油圧ジャッキを用い行い、降伏変位 δ_y の整数倍(1 δ_y , $2\delta_y$, $3\delta_y$, $4\delta_y$, $6\delta_y$, $8\delta_y$ ・・・)の各変位で 3 回繰返す定変位正負交番載荷とした。なお、降伏変位 δ_y は、載荷荷重が鉄道構造物等設計標準・同解説 δ_y に示される鋼角ストッパーの曲げ降伏耐力の計算値に達した時点の変位(4.5mm)とした。

3. 実験結果

(1) 破壊状況

荷重が約 500kN の時点で 鋼角ストッパー隅角部から, 載荷方向 45° 方向にひび割 れが発生し,+918kN,-932kN

表 1 コンクリートの材料諸元

圧縮強度	弾性係数	割裂強度
(N/mm²)	(kN/mm²)	(N/mm²)
25. 5	24. 8	2. 57

表 2 鋼材の材料諸元

鋼材	規格	降伏強度 (N/mm²)	降伏ひずみ (μ)	弾性係数 (kN/mm²)
補強鉄筋	SD490-D19	541	3086	181
ストッパー	STKR490 250×250mm t=9mm	432	1890 ^{**1}	200**2

※1:降伏強度を弾性係数で除した値

※2: 文献 1) に示される設計値

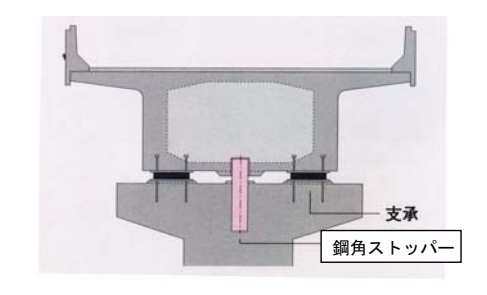
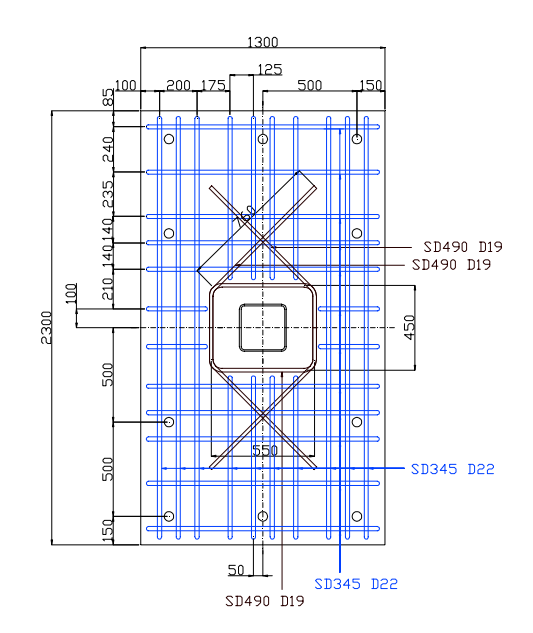
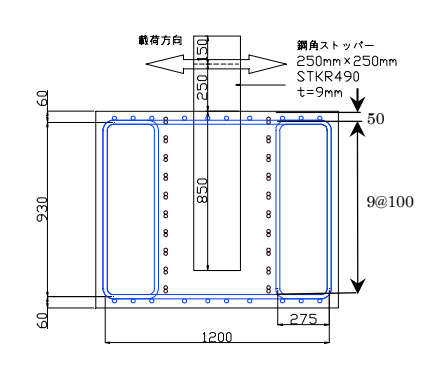


図1 鋼角ストッパー(箱桁の例)





(単位: mm)

図2 載荷方法

キーワード 鋼角ストッパー,交番載荷試験,支圧強度,コンクリート充填鋼管部材

連絡先 〒185-8540 国分寺市光町 2-8-38 TEL: 042-573-7394 FAX: 042-573-5326

でストッパー圧縮側前面のコンクリート表面に圧壊が生じた。 正側、負側とも $3\delta y$ 時に最大耐力1299kNとなり、その後、 $8\delta y$ 程度からストッパー鋼管の座屈に伴って徐々に荷重が低下した。正側 $14\delta y$ の1回目において降伏荷重程度まで荷重が低下し、正側2回目載荷時に鋼管の隅角部に亀裂が生じたため載荷を終了した。

(2) 荷重-変位関係

図3に、載荷荷重と載荷点位置の変位の関係を示す。図には、 鉄道構造物等設計標準・同解説 ¹⁾に示される方法により算定し た鋼角ストッパーの最大耐力の計算値, およびフーチング上部 のコンクリートが支圧耐力に達する荷重の計算値を合わせて 示す。載荷点変位-水平力の関係は、紡錘型の履歴曲線を示し ており、形状はコンクリート充填鋼管部材(CFT部材)と類似 している。今後,鋼角ストッパーの変形量の算定方法を検討す るに当たり、CFT 部材に対する考え方を参考にできる可能性が あると思われる。また、最大耐力は、既往の算定方法によって 概ね妥当に評価できている。一方, ストッパー降伏後, 最大耐 力に至る以前にフーチング上部のコンクリートが計算上の支 圧強度に達し,実際にコンクリートの圧壊も生じているが,そ の時点で履歴曲線に大きな変化は見られない。また、図4に、 モールドゲージにより測定した, フーチングコンクリートのひ ずみ分布を示す。図は、フーチング表面のひずみが最大となっ た±6δ_v時の分布を示している。図に示すように、コンクリー トの損傷はフーチング上面に集中し, フーチング上面から 150mm 以深では顕著なひずみは発生していない。現在の設計 では、鋼角ストッパーの埋め込み深さは桁座の支圧強度の照査 により決定されるケースが多いが、この結果から考えると支圧 強度に関する照査方法について再検討の余地があると考えら れる。

(3) 鋼角ストッパーのひずみ分布

図 5 に、最大荷重時の鋼角ストッパーのひずみ分布を示す。 図には、鉄道構造物等設計標準・同解説 ¹⁾に示される方法で算 定した、鋼角ストッパーの最大曲げモーメント発生位置をあわ

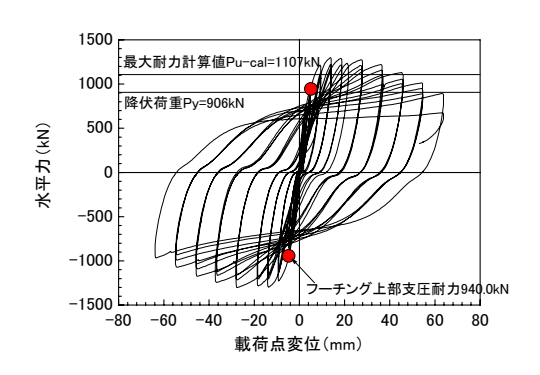


図3 載荷点変位-水平力の関係

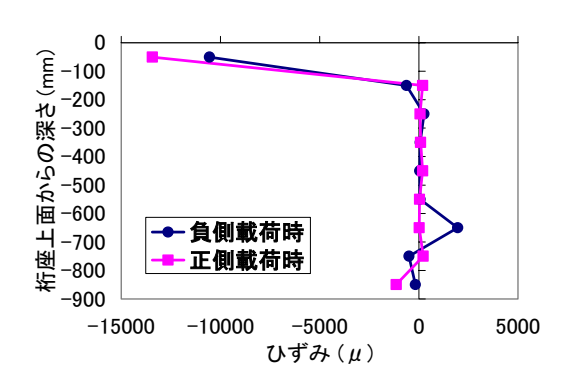


図 4 フーチングコンクリートのひずみ分布

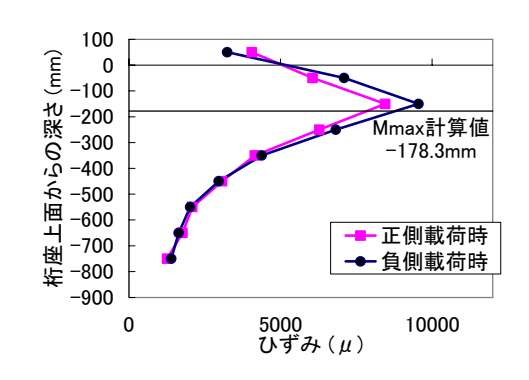


図5 鋼角ストッパーのひずみ分布

せて示した。図に示すように、最大曲げモーメントの発生位置は、設計計算値と良い整合を示している。

4. まとめ

- (1) 載荷点変位-水平力の関係は、紡錘型の履歴曲線を示し、コンクリート充填鋼管部材(CFT 部材) と類似の形状であった。
- (2) フーチングコンクリートの損傷は表面近傍に集中し、上部のコンクリートが支圧強度に達しても、履 歴曲線に大きな変化は見られない。今後、支圧強度に関する照査方法を再考できる可能性があると考えら れる。

(参考文献)

1) 鉄道総合技術研究所編:鉄道構造物等設計標準・同解説 (コンクリート構造物), 2004